

# $H_2O_2$ -KSCN-CuSO<sub>4</sub>-NaOH 非线性反应 在封闭体系中的新现象 \*

高庆宇 薛万华 \*\* 林娟娟 \*\* 殷雅茹 赵学庄 \*\*\*

(南开大学化学系, 天津 300071)

关键词 非线性化学反应 pH 振荡 复杂振荡

近几年来, 在无卤液相反应体系中开展非线性化学反应设计、机理和复杂现象研究方面的工作逐渐增加, Jensen 振荡反应<sup>[1]</sup>、O<sub>2</sub>-S<sup>2-</sup>-SO<sub>3</sub><sup>2-</sup>-亚甲蓝振荡反应<sup>[2]</sup>引发人们对无卤非线性反应体系的兴趣, 后来设计的其中一个无卤振荡体系过氧化氢-硫氰酸盐-硫酸铜反应<sup>[3]</sup>在封闭体系和开放体系皆可产生双稳态和振荡现象, Epstein 等<sup>[4]</sup>根据当时的实验现象推测反应机理, 其中包括 30 步反应和 26 个中间体, 但无法满意解释和说明一些 CSTR 现象<sup>[4]</sup>、发光现象<sup>[5]</sup>以及振荡波形, 而且机理中的自催化剂是否存在尚未确证, 因此进行公认的机理研究和模型提取遇到非常麻烦的困难. 我们对此体系进一步实验研究, 发现 pH 振荡和复杂振荡等现象, 此结果对于反应机理和此反应复杂非线性的研究具有重要的意义.

## 1 实验部分

所有反应在恒温充分磁搅拌的反应器中进行, 以 217 型甘汞电极(或硫酸亚汞电极)为参比电极通过 213 型铂电极、231 型 pH 电极(皆为上海电光器件厂产)测量溶液电位、pH 的变化, 并分别通过 PC 板(精度 0.1mV)储存在 IBM 计算机中或用 XWT-204 记录仪记录, 反应液总体积 30 mL, 在反应器中各反应液加入顺序为: 水、硫氰化钾、氢氧化钠、过氧化氢、硫酸铜.

双氧水、硫氰化钾、硫酸铜皆为分析纯试剂, 氢氧化钠为优级纯试剂, 蒸馏水采用阴阳离子树脂净化, 双氧水用高锰酸钾法标定, 硫氰化钾用硝酸银法标定, 硫酸铜用碘量法标定, 氢氧化钠用邻苯二甲酸氢钾法标定.

## 2 实验结果与讨论

### 2.1 封闭体系中的 pH 的变化

按照文献[3], 此反应 pH 值在振荡过程中是单调降低的; 经过仔细观察 pH 振荡振幅一般在 0.01~0.1 之间, pH 振荡振幅之所以这么小, 因为溶液中有 NH<sub>3</sub>-NH<sub>4</sub><sup>+</sup>, HCO<sub>3</sub><sup>-</sup>-H<sub>2</sub>CO<sub>3</sub> 和

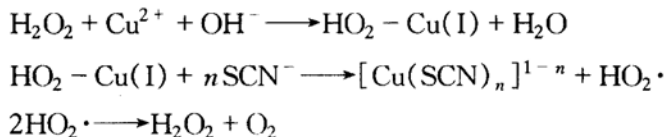
1995-09-12 收稿, 1996-01-03 收修改稿

\* 国家自然科学基金资助项目

\*\* 分别是山西雁北师范学院和浙江温州师范学院来南开大学访问学者

\*\*\* 联系人

HCNO-CNO<sup>-</sup>等缓冲对, 振荡 pH 值、电位曲线如图 1(a), 说明 OH<sup>-</sup> 为振荡中间物, pH 振荡中的 pH 降低是由于 Cu<sup>2+</sup> 氧化 H<sub>2</sub>O<sub>2</sub> 的反应<sup>[4]</sup>, 产生的 HO<sub>2</sub>-Cu(I) 易分解最后生成 [Cu(SCN)<sub>n</sub>]<sup>1-n</sup> 并放出氧气.



振荡 pH 的升高可能来源于自催化剂(尚无法确定)的自催化反应同时伴随氢氧根的产生, 此 pH 的振荡为伴随自催化反应的振荡. 由图 1 看出 pH 振荡总体下降; 另外由图 1(b)看出升高温度振荡次数减少, 高温时 pH 振荡开始到结束保持不变或略有升高, 振荡结束后 pH 下降较快, 这说明本质振荡动力学过程不包含溶液整体 pH 下降有关的反应, 当然 pH 下降到一定值 Cu<sup>2+</sup> 不能氧化双氧水, 也就不能构成动力学振荡回路.

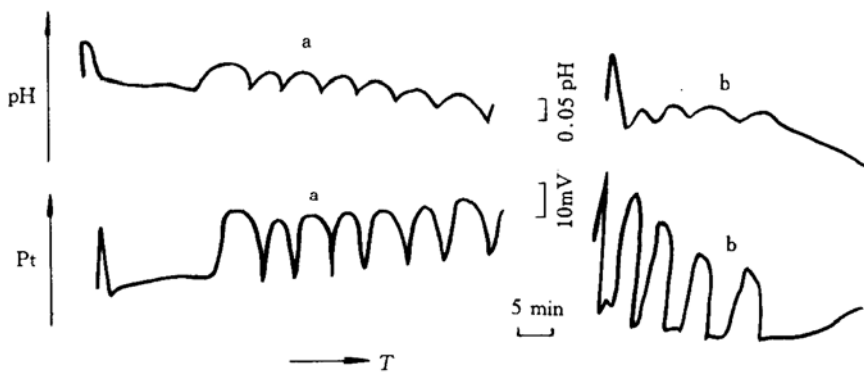
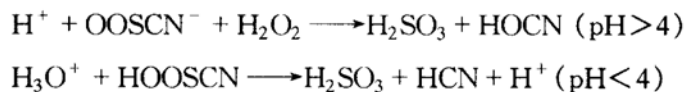


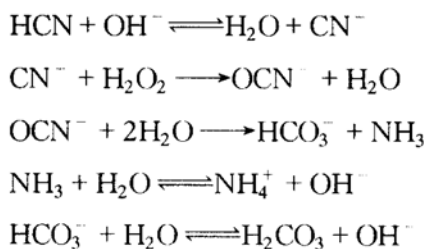
图 1 过氧化氢-硫氰酸盐-硫酸铜-氢氧化钠振荡反应在封闭体系中 pH 和电位时间系列

参比电极为 217 型甘汞电极; a 为 [H<sub>2</sub>O<sub>2</sub>] = 0.197 6 mol/L, [KSCN] = 0.017 6 mol/L, [NaOH] = 0.035 6 mol/L, [CuSO<sub>4</sub>] = 6.369 × 10<sup>-5</sup> mol/L, T = 25.0°C; b 为 [H<sub>2</sub>O<sub>2</sub>] = 0.149 1 mol/L, [KSCN] = 0.017 6 mol/L, [NaOH] = 0.034 6 mol/L, [CuSO<sub>4</sub>] = 4.12 × 10<sup>-5</sup> mol/L, T = 45.6°C

Cu<sup>2+</sup> 是否存在对长时间整体波形影响不大, 如图 2(a), 但 Cu<sup>2+</sup> 不仅对于封闭体系 Pt 电位与 pH 同步变化的振荡是必要的, 而且使 Pt 电位与 pH 变化反相大波形的反应加快; 图 2(a) 部分放大即图 2(b) 可观察到振荡结束后 Pt 电极电位和 pH 分别有两次突然升高和降低, 本质是由 H<sup>+</sup> 的自催化反应造成, 总的反应<sup>[4]</sup>是:



当 pH < 4 时, 溶液中的 HCN 浓度增加, 过氧化氢氧化氢酸引起氢氧根自催化反应<sup>[6]</sup>, 这就说明图 2(a) 中 pH 最后的迅速上升和 Pt 电极电位又迅速下降.



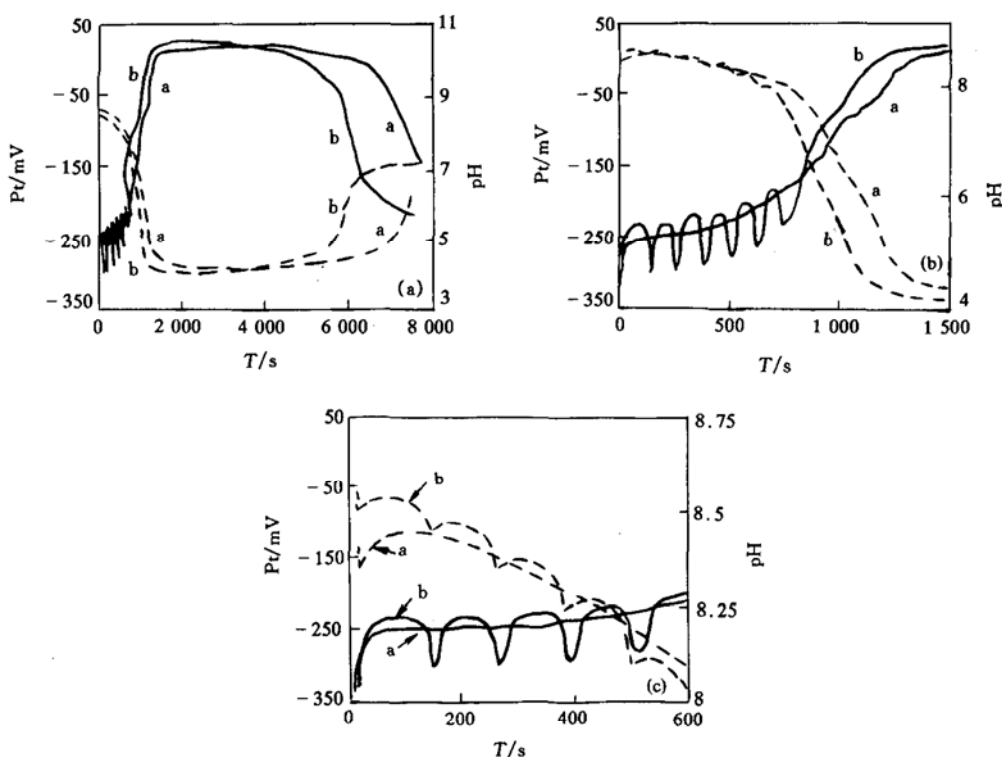


图2 过氧化氢-硫氰酸盐-氢氧化钠反应在封闭体系中 pH(虚线)和Pt电位(实线)的时间系列  
硫酸亚汞电极为参比电极,(b)图为(a)图一部分放大,(c)图为(b)图进一步放大; $[H_2O_2] = 0.2530\text{ mol/L}$ ,  $[KSCN] = 0.008\text{ mol/L}$ ,  $[NaOH] = 0.003\text{ mol/L}$ ,  $T = 35.0^\circ\text{C}$ . 图中 a 为无铜离子, b 为  $[CuSO_4] = 4.00 \times 10^{-5}\text{ mol/L}$

图2(b)进一步放大得图2(c), 可看到  $Cu^{2+}$  存在时有 Pt 电极电位与 pH 变化同步的振荡, 但整体溶液 Pt 电极电位升高, 同时 pH 下降.

## 2.2 其它因素对振荡的影响和复杂振荡现象

用过氧乙酸代替过氧化氢, 有振荡现象; 过硫酸盐代替过氧化氢无振荡现象. 在振荡体系中加一小滴 10 mol/L 氨水, 振荡停止, 溶液呈黄色; 同样在振荡体系加一滴 5 mol/L 的乙酸锰, 振荡频率增加且寿命降低.

实验研究发现, 封闭体系中在一定浓度范围内(见表1)出现复杂振荡, 一般如图3, 条件固定的情况下实验现象皆能重复, 反应曲线一开始类似 BZ 反应 CSTR 中的周期 2, 随着反应趋向平衡, 复杂振荡消失, 另外升高温度不利复杂振荡的出现.

表1 封闭体系中在一定浓度范围内出现复杂振荡情况<sup>a)</sup>

$H_2O_2$	$SCN^-$	$Cu^{2+}$	$OH^-$	$T$
0.25	0.0125~0.02	$6.25 \times 10^5$	0.0270	25
0.195~0.300	0.0175	$6.25 \times 10^5$	0.0355	25
0.25	0.0175	$6.25 \times 10^5$	0.0355	20~30
0.25	0.0175	$4 \times 10^5 \sim 1 \times 10^4$	0.0355	25

a) 溶液浓度单位为 mol/L, 温度单位为  $^\circ\text{C}$

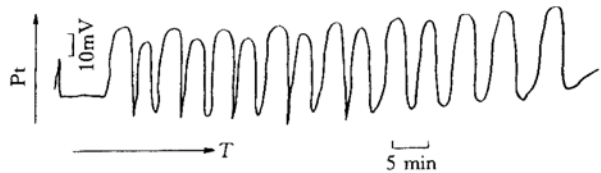


图 3 过氧化氢-硫氰酸盐-硫酸铜-氢氧化钠振荡反应在封闭体系中 pH 和 Pt 电位时间系列  
参比电极为 217 型甘汞电极;  $[H_2O_2] = 0.250\text{ mol/L}$ ,  $[KSCN] = 0.0175\text{ mol/L}$ ,  $[NaOH] = 0.0355\text{ mol/L}$ ,  
 $[CuSO_4] = 6.25 \times 10^{-5}\text{ mol/L}$ ,  $T = 25.0^\circ\text{C}$

### 3 结论

在溶液中加氨, 铜离子周围的配体被氨取代, 体系失去了铜离子参与自催化振荡过程; 另外过氧化物必须在溶液中容易产生与铜离子配位的  $ROO^-$  基团, 不然, 不能产生封闭体系振荡; 氢离子不是振荡过程的作用中间体, 因此 pH 振荡为伴随振荡; pH 的两次突降来源于氢离子自催化反应, pH 的突升来源于氢氧根离子自催化反应.

实验发现<sup>[7]</sup>, BZ 反应在一定浓度下(远离平衡, 不一定需要 CSTR)可以出现倍周期暂态混沌, 在  $H_2O_2$ - $SCN^-$ - $Cu^{2+}$ - $OH^-$  封闭体系出现暂态周期 2 振荡, 表明此反应在开放体系中可能存在更复杂振荡(CHAOS)现象.

### 参 考 文 献

- 1 Jensen J H. A new type of oscillation reaction: air oxidation of benzaldehyde. *J Am Chem Soc*, 1983, 105: 2 639~2 641
- 2 Burger M, Field R J. A new chemical oscillator containing neither metal nor oxyhalogen. *Nature (London)*, 1984, 307: 720~721
- 3 Orban M. Oscillation and bistability in the Cu(II)-catalyzed reaction between  $H_2O_2$  and KSCN. *J Am Chem Soc*, 1986, 108: 6 893~6 898
- 4 Luo Y, Orban M, Kustin K. Mechanistic study of oscillation and bistability in the Cu(II)-Catalyzed reaction between  $H_2O_2$  and KSCN. *J Am Chem Soc*, 1989, 111: 4 541~4 548
- 5 Sattar S, Epstein I R. Interaction of luminol with the oscillating system  $H_2O_2$ -KSCN-CuSO<sub>4</sub>-NaOH. *J Phys Chem*, 1990, 94: 275~277
- 6 陈寿椿等编. 重要的无机化学反应, 第三版. 上海: 上海科技出版社, 1994. 1 547
- 7 Wang J C, Soerensen P G, Hynne F. Transient period doublings, torus oscillation, and chaos in a closed chemical system. *J Phys Chem*, 1994, 98: 725~727